## 2 Modelagem Matemática

### 2.1 Caracterização de portadoras Digitais

A modulação digital envolve a escolha de uma forma de onda s(t), num conjunto finito de possíveis formas de onda (ou símbolos), baseada na informação dos bits aplicados no modulador. Considerando-se um total de M possíveis formas de ondas, este conjunto pode ser representado como

$$S = \{s_1(t), s_2(t), \dots, s_M(t)\}$$
(2-1)

Do ponto de vista geométrico, qualquer conjunto finito de formas de onda fisicamente realizáveis pode ser expresso como uma combinação linear de L ( $L \leq M$ ) formas de onda ortonormais, as quais formam uma base do espaço de funções, ou seja,

$$s_{\ell}(t) = \sum_{j=1}^{L} s_{\ell j} \phi_{j}(t)$$
 ;  $\ell = 0, ..., M - 1$  (2-2)

onde a ortonormalidade das funções  $\phi_i(t)$  da base garante que

$$\int_{-\infty}^{\infty} \phi_j(t)\phi_k(t)dt = \begin{cases} 0, & j \neq k \\ 1, & j = k \end{cases}$$
  $j, k = 1, ..., L$  (2-3)

Note que a energia de cada uma das funções da base é unitária, ou seja,

$$E_{\phi_j} = \int_{-\infty}^{\infty} \phi_j^2(t)dt = 1$$
  $j = 1, ..., L$  (2-4)

Neste caso, os M vetores  $\mathbf{s}_{\ell} = [s_{\ell_1} \ s_{\ell_2} \ ... \ s_{\ell_L}]^T, \ \ell = 0, ..., M-1$ , formados pelos coeficientes de (2-2) pertencem a  $\mathbb{R}^L$ , e definem um conjunto de vetores dados por

$$S = \{ \mathbf{s}_{\ell}; \qquad \ell = 0, ..., M - 1 \} \qquad \mathbf{s}_{\ell} \in \mathbb{R}^{L}$$
 (2-5)

Note que a energia do sinal  $s_{\ell}(t)$  se escreve

$$E_{s_{\ell}} = \int_{-\infty}^{\infty} s_{\ell}^{2}(t)dt$$

$$= \int_{-\infty}^{\infty} \sum_{j=1}^{L} \sum_{k=1}^{L} s_{\ell j} s_{\ell k} \phi_{j}(t) \phi_{k}(t)dt$$

$$= \sum_{j=1}^{L} \sum_{k=1}^{L} s_{\ell j} s_{\ell k} \int_{-\infty}^{\infty} \phi_{j}(t) \phi_{k}(t)dt \qquad (2-6)$$

considerando-se (2-3), (2-6), se reduz a

$$E_{s_{\ell}} = \sum_{j=1}^{L} s_{\ell j}^{2}$$

$$= \mathbf{s}_{\ell}^{T} \mathbf{s}_{\ell}$$
(2-7)

Observe que a energia média das formas de onda  $s_{\ell}(t)$  se escreve,

$$E_{s} = \mathbb{E}\left[E_{s_{\ell}}\right]$$

$$= \mathbb{E}\left[\mathbf{s}_{\ell}^{T}\mathbf{s}_{\ell}\right] \tag{2-8}$$

No caso de L=2, os vetores de  $\mathbb S$  podem alternativamente ser representados no plano complexo, definindo um conjunto equivalente a  $\mathbb S$ , dado por

$$S = \{ s_{\ell} = s_{\ell_1} + j s_{\ell_2}, \quad \ell = 0, ..., M - 1 \}$$
 (2-9)

Neste caso,

$$E_{s_{\ell}} = |s_{\ell}|^{2}$$

$$= s_{\ell}s_{\ell}^{*}$$
(2-10)

e consequentemente

$$E_s = \mathbb{E}\left[|s_\ell|^2\right] \tag{2-11}$$

Um sinal correspondente a uma modulação digital com constelação bidimensional pode ser expressa como

$$c(t) = Re \left\{ \sum_{k=-\infty}^{\infty} \sqrt{2} d_k \ p(t + \epsilon - kT) \ e^{j[2\pi f_c(t+\epsilon) + \theta]} \right\}$$
 (2-12)

sendo sua envoltória complexa, em relação à frequência  $f_c$ , dada por

$$\tilde{c}(t) = \sum_{k=-\infty}^{\infty} \sqrt{2} d_k p(t + \epsilon - kT) e^{j\theta}$$
(2-13)

Em (2-12) e (2-13)  $d_k$  é uma variável aleatória complexa que toma valores em S e corresponde ao símbolo transmitido no k-ésimo intervalo,  $\epsilon$  é uma variável aleatória uniforme em  $\left[-\frac{T}{2}, \frac{T}{2}\right]$  e  $\theta$  é uma variável aleatória uniforme em  $[0, 2\pi)$ . As variáveis aleatórias  $\epsilon$  e  $\theta$  caracterizam respectivamente o erro de relógio e a fase da portadora. Em (2-12) e (2-13) p(t) é a forma do pulso formatador no tempo, normalizado para energia unitária, ou seja,

$$\int_{-\infty}^{\infty} p^2(t) dt = 1 \tag{2-14}$$

Exemplos de modulações com constelação bi-dimensional são apresentadas nas seções seguintes

### 2.1.1 Modulação M-PSK

Na modulação PSK (*Phase Shift Keying*), a amplitude da portadora é constante e sua fase varia de acordo com a informação a ser transmitida. Neste caso  $d_k$  toma valores no conjunto

$$S = \{s_{\ell} ; \quad \ell = 0, ..., M - 1\}$$
 (2-15)

onde

$$s_{\ell} = \sqrt{E_s} e^{j\frac{\pi}{M}(2\ell+1)} \tag{2-16}$$

A Figura 2.1 ilustra a constelação de sinais associada a uma modulação M-PSK onde a energia média dos sinais é igual a  ${\cal E}_s$ 

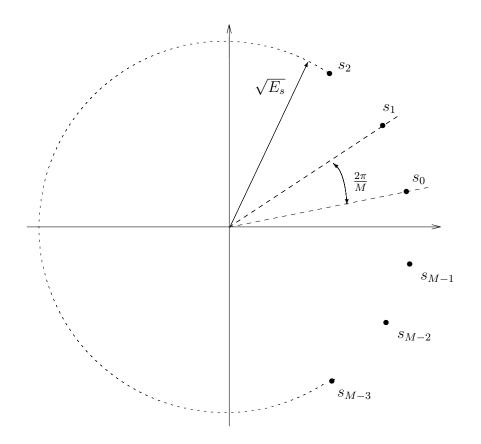


Figura 2.1: Constelação de sinais para a modulação M-PSK

## 2.1.2 Modulação M-QAM

Na modulação QAM ( $Quadrature\ Amplitude\ Modulation$ ), tanto a amplitude quanto a fase da portadora variam de acordo com a informação a ser transmitida. Neste caso  $d_k$  toma valores no conjunto

$$S = \{s_{\ell} ; \quad \ell = 0, ..., M - 1\}$$
 (2-17)

onde

$$s_{\ell} = \left(2\ell + 1 - N - 2N\lfloor \frac{\ell}{N} \rfloor\right) \frac{\Delta}{2} + j\left(N - 1 - 2\lfloor \frac{\ell}{N} \rfloor\right) \frac{\Delta}{2} \; ; \quad \ell = 0, \dots, M - 1$$
(2-18)

e  $N = \sqrt{M}$ , |x| representa o maior inteiro menor ou igual a x, e

$$\Delta = \sqrt{\frac{6E_s}{M-1}} \tag{2-19}$$

A Figura 2.2 ilustra a constelação de sinais associada a uma modulação M-QAM onde a energia média dos sinais é igual a  $E_s$ 

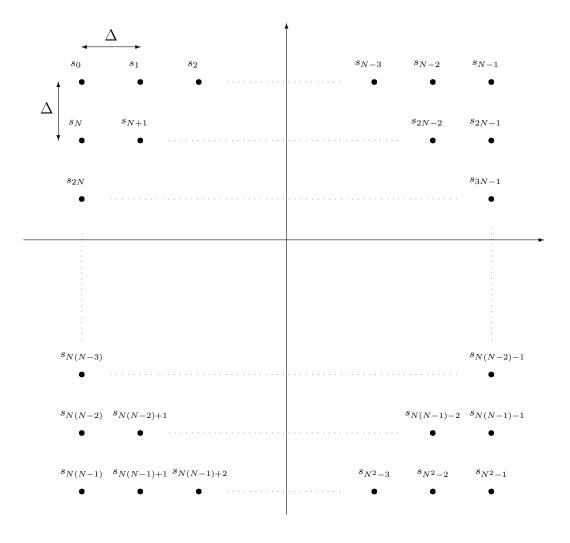


Figura 2.2: Constelação de sinais para a modulação M-QAM

## 2.2 Caracterização do sinal OFDM

OFDM é um sistema de modulação multiportadora. Consiste em um determinado número N de portadoras ortogonais, cada uma delas com uma taxa de transmissão de 1/T símbolos por segundos e espaçadas em freqüência de (1/T) Hz. O sinal OFDM pode ser escrito como

$$m(t) = \sum_{i=1}^{N} c_i(t)$$
 (2-20)

onde as parcelas  $c_i(t)$  correspondem a sinais digitais dadas por (2-12). Tem-se assim,

$$m(t) = \sum_{i=1}^{N} Re \left\{ \sum_{k=-\infty}^{\infty} \sqrt{2} \, d_{ik} \, p(t+\epsilon - kT) \, e^{j[2\pi(f_c + \Delta f_i)(t+\epsilon) + \theta]} \right\}$$
(2-21)

onde  $d_{ik}$  é uma variável aleatória complexa que toma valores em  $\mathcal{S}$  e corresponde ao sinal transmitido no k-ésimo intervalo da i-ésima portadora,  $f_i = f_c + \Delta f_i$  é a freqüência da i-ésima portadora, p(t) é o pulso formatador com energia unitária (2-14) e é igual para todas as portadoras, T é a duração do símbolo,  $\epsilon$  é uma variável aleatória uniforme em  $\left[-\frac{T}{2}, \frac{T}{2}\right)$  e  $\theta$  é uma variável aleatória uniforme em  $\left[0, 2\pi\right)$ .

A envoltória complexa do sinal OFDM, em (2-21) com relação à freqüência  $f_c$ , se escreve

$$\tilde{m}(t) = \sum_{i=1}^{N} \sum_{k=-\infty}^{\infty} \sqrt{2} d_{ik} p(t+\epsilon - kT) e^{j\left[\frac{2\pi i}{T}(t+\epsilon) + \theta\right]}$$
(2-22)

onde  $\Delta f_i$  foi feito igual a i/T. Alternativamente  $\tilde{m}(t)$ , pode ser escrito como

$$\tilde{m}(t) = \sum_{k=-\infty}^{\infty} \tilde{m}_k(t) \, p(t + \epsilon - kT) \tag{2-23}$$

onde

$$\tilde{m}_k(t) = \sum_{i=1}^{N} \sqrt{2} \, d_{ik} \, e^{j\left[\frac{2\pi i}{T}(t+\epsilon) + \theta\right]} \tag{2-24}$$

 $\tilde{m}_k(t)$  se refere à envoltória complexa do sinal transmitido no k-ésimo intervalo, aqui denominado símbolo OFDM. Note que o teorema do limite central permite dizer que, para valores suficientemente grandes de N, o processo  $\tilde{m}_k(t)$  pode ser aproximado por um processo gaussiano complexo.

Nas secções que seguem, serão determinadas as estatísticas da envoltória complexa do símbolo OFDM  $(\tilde{m}_k(t))$ , e do sinal OFDM  $(\tilde{m}(t))$ 

## 2.2.1 Determinação das Médias

## Média da envoltória complexa de $\widetilde{m}_k(t)$

Pela definição de média de um processo estocástico [8] temos que a partir de (2-24) a média de  $\tilde{m}_k(t)$  é dada por

$$\mathbb{E}\left[\tilde{m}_{k}(t)\right] = \mathbb{E}\left[\sum_{i=1}^{N} \sqrt{2} d_{ik} e^{j\left[\frac{2\pi i}{T}(t+\epsilon)+\theta\right]}\right]$$

$$= \sqrt{2} \sum_{i=1}^{N} \mathbb{E}\left[d_{ik} e^{j\frac{2\pi i}{T}\epsilon} e^{j\theta} e^{j\frac{2\pi i}{T}t}\right]$$
(2-25)

sabendo que  $\theta$ ,  $\epsilon$ ,  $d_{ik}$  são variáveis aleatórias estatísticamente independentes, tem-se

$$\mathbb{E}\left[\tilde{m}_{k}(t)\right] = \sum_{i=1}^{N} \mathbb{E}\left[d_{ik}\right] \mathbb{E}\left[e^{j\frac{2\pi i}{T}\epsilon}\right] \mathbb{E}\left[e^{j\theta}\right] e^{j\frac{2\pi i}{T}t}$$
(2-26)

como  $\theta$  é uma variável aleatória uniforme em  $(0, 2\pi]$  tem-se que

$$\mathbb{E}\left[e^{j\theta}\right] = 0\tag{2-27}$$

e consequentemente,

$$\mathbb{E}\left[\tilde{m}_k(t)\right] = 0\tag{2-28}$$

#### Média da envoltória complexa de $\widetilde{m}(t)$

A partir de (2-23) tem-se que a média do sinal  $\tilde{m}(t)$  é dada por

$$\mathbb{E}\left[\tilde{m}\left(t\right)\right] = \mathbb{E}\left[\sum_{k=-\infty}^{\infty} \tilde{m}_{k}(t) p(t+\epsilon-kT)\right]$$

$$= \sum_{k=-\infty}^{\infty} \mathbb{E}\left[\tilde{m}_{k}(t) p(t+\epsilon-kT)\right]$$
(2-29)

onde

$$\mathbb{E}\left[\tilde{m}_{k}(t)p(t+\epsilon-kT)\right] = \mathbb{E}_{\epsilon}\left\{\mathbb{E}\left[\tilde{m}_{k}(t)p(t+E-kT)\mid\epsilon=E\right]\right\}$$
$$= \mathbb{E}_{\epsilon}\left\{p(t+E-kT)\mathbb{E}\left[\tilde{m}_{k}(t)\mid\epsilon=E\right]\right\} (2-30)$$

note que a partir de (2-25)

$$\mathbb{E}\left[\tilde{m}_k(t) \mid \epsilon = E\right] = \sqrt{2} \sum_{i=1}^{N} \mathbb{E}\left[d_{ik}e^{j\theta}\right] e^{j\frac{2\pi i}{T}E} e^{j\frac{2\pi i}{T}t}$$
(2-31)

considerando-se que  $\theta$ ,  $d_{ik}$  são variáveis aleatórias estatísticamente independentes, tem-se

$$\mathbb{E}\left[\tilde{m}_k(t) \mid \epsilon = E\right] = \sqrt{2} \sum_{i=1}^N \mathbb{E}\left[d_{ik}\right] \mathbb{E}\left[e^{j\theta}\right] e^{j\frac{2\pi i}{T}E} e^{j\frac{2\pi i}{T}t} \tag{2-32}$$

Sabendo que  $\theta$  é uma variável aleatória uniforme em  $(0, 2\pi]$ ,

$$\mathbb{E}\left[e^{j\theta}\right] = 0\tag{2-33}$$

consequentemente

$$\mathbb{E}\left[\tilde{m}_k(t) \mid \epsilon = E\right] = 0 \tag{2-34}$$

A partir de (2-29) e (2-30) e o resultado em (2-34) obtém-se finalmente

$$\mathbb{E}\left[\tilde{m}(t)\right] = 0\tag{2-35}$$

#### 2.2.2

#### Determinação das Funções Autocorrelação

#### Função Autocorrelação da envoltória complexa de $\widetilde{m}_k(t)$

A Função Autocorrelação do processo estocástico  $\tilde{m}_k(t)$  é definida por:

$$R_{\tilde{m}_k}(t_1, t_2) = \mathbb{E}\left[\tilde{m}_k(t_1)\tilde{m}_k^*(t_2)\right] \tag{2-36}$$

considerando-se (2-24) tem-se

$$R_{\tilde{m}_{k}}(t_{1}, t_{2}) = \mathbb{E}\left[\left(\sum_{i=1}^{N} \sqrt{2} d_{ik} e^{j\left[\frac{2\pi i}{T}(t_{1}+\epsilon)+\theta\right]}\right) \left(\sum_{\ell=1}^{N} \sqrt{2} d_{\ell k}^{*} e^{-j\left[\frac{2\pi \ell}{T}(t_{2}+\epsilon)+\theta\right]}\right)\right]$$

$$= 2\mathbb{E}\left[\left(\sum_{i=1}^{N} \sum_{\ell=1}^{N} d_{ik} d_{\ell k}^{*} e^{j\frac{2\pi}{T}[it_{1}-\ell t_{2}+(i-\ell)\epsilon]}\right)\right]$$
(2-37)

como já foi dito anteriormente as variáveis aleatórias  $\epsilon$  e  $d_{ik}$  são estatísticamente independentes. Sendo assim, podemos escrever (2-37) como

$$R_{\tilde{m}_k}(t_1, t_2) = 2 \sum_{i=1}^{N} \sum_{\ell=1}^{N} \mathbb{E} \left[ d_{ik} d_{\ell k}^* \right] \mathbb{E} \left[ e^{j\frac{2\pi}{T}(i-\ell)\epsilon} \right] e^{j\frac{2\pi}{T}(it_1-\ell t_2)}$$
 (2-38)

Note que, como  $\epsilon$  é uniforme em  $\left[-\frac{T}{2}, \frac{T}{2}\right]$ ,

$$\mathbb{E}\left[e^{j\frac{2\pi}{T}(i-\ell)\epsilon}\right] = \begin{cases} 0, & i \neq \ell; \\ 1, & i = \ell. \end{cases}$$
 (2-39)

Sendo assim, a Função Autocorrelação de  $\tilde{m}_k(t)$  se escreve

$$R_{\tilde{m}_k}(t_1, t_2) = 2 \sum_{i=1}^{N} \mathbb{E}\left[|d_{ik}|^2\right] e^{j\frac{2\pi i}{T}(t_1 - t_2)}$$
 (2-40)

Considere que, de acordo com (2-11),  $\mathbb{E}[|d_{ik}|^2] = E_s$ . Tem-se

$$R_{\tilde{m}_k}(t_1, t_2) = 2 E_s \sum_{i=1}^{N} e^{j\frac{2\pi i}{T}(t_1 - t_2)}$$
 (2-41)

ou

$$R_{\tilde{m}_k}(t_1, t_2) = 2 E_s \sum_{i=1}^{N} \left\{ \cos \left[ \frac{2\pi i}{T} (t_1 - t_2) \right] + j \operatorname{sen} \left[ \frac{2\pi i}{T} (t_1 - t_2) \right] \right\}$$
 (2-42)

Note que  $R_{\tilde{m}_k}(t_1,t_2)$  é função da diferença  $\tau=t_1-t_2$  e portanto o processo complexo  $\tilde{m}_k(t)$  é estacionário no sentido amplo (ESA). Além disso  $R_{\tilde{m}_k}(\tau)$  é periódica de período T. Alternativamente, considerando-se o somatório em (2-41),  $R_{\tilde{m}_k}(\tau)$  se escreve

$$R_{\tilde{m}_k}(\tau) = 2 E_s \frac{\operatorname{sen}\left(\frac{\pi\tau N}{T}\right)}{\operatorname{sen}\left(\frac{\pi\tau}{T}\right)} e^{j\frac{(N+1)\pi\tau}{T}}$$
(2-43)

A partir de (2-40), temos que

$$R_{\tilde{m}_k}(0) = 2 E_s N (2-44)$$

onde  $E_s$  é a energia média do sinal e N o número de portadoras do sinal OFDM.

#### Função Autocorrelação normalizada da envoltória complexa de $\widetilde{m}_k(t)$

A Função Autocorrelação normalizada de  $\tilde{m}_k$  é definida como

$$\bar{R}_{\tilde{m}_k}(\tau) = \frac{R_{\tilde{m}_k}(\tau)}{R_{\tilde{m}_k}(0)}$$

$$= \frac{R_{\tilde{m}_k}(\tau)}{2E_c N} \tag{2-45}$$

A partir de (2-42) e fazendo-se  $t_1 - t_2 = \tau$  obtém-se,

$$\bar{R}_{\tilde{m}_k}(\tau) = \frac{1}{N} \sum_{i=1}^{N} \left\{ \cos \left[ \frac{2\pi i}{T}(\tau) \right] + j \operatorname{sen} \left[ \frac{2\pi i}{T}(\tau) \right] \right\}$$
 (2-46)

As figuras 2.3 e 2.4 ilustram a Função Autocorrelação normalizada do k-ésimo símbolo OFDM (linha contínua parte Real e linha tracejada parte Imaginária), para 16 e 64 portadoras, respectivamente. Note que esta função autocorrelação não depende do pulso formatador p(t).

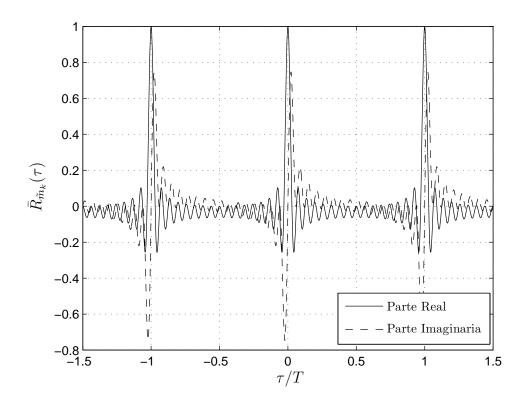


Figura 2.3: Função Autocorrelação normalizada de  $\tilde{m}_k(t)$  para N=16

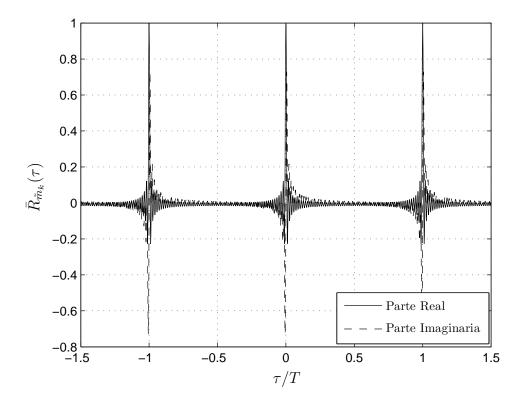


Figura 2.4: Função Autocorrelação normalizada de  $\tilde{m}_k(t)$  para N=64

## Função Autocorrelação da envoltória complexa de $\widetilde{m}(t)$

Pela definição temos:

$$R_{\tilde{m}}(t_1, t_2) = E[\tilde{m}(t_1)\tilde{m}^*(t_2)] \tag{2-47}$$

Considerando-se (2-23),

$$R_{\tilde{m}}(t_1, t_2) = \sum_{k=-\infty}^{\infty} \sum_{\ell=-\infty}^{\infty} \mathbb{E}\left[\tilde{m}_k(t_1)\tilde{m}_{\ell}^*(t_2)p(t_1 + \epsilon - kT)p(t_2 + \epsilon - \ell T)\right]$$
(2-48)

Note que  $R_{\tilde{m}}(t_1,t_2)$  pode ser obtido a partir da autocorrelação condicional  $R_{\tilde{m}|\epsilon=E}(t_1,t_2)$  através da relação

$$R_{\tilde{m}}(t_1, t_2) = \mathbb{E}_{\epsilon} \left[ R_{\tilde{m}|\epsilon=E}(t_1, t_2) \right]$$

$$= \int_{-\infty}^{\infty} R_{\tilde{m}|\epsilon=E}(t_1, t_2) p_{\epsilon}(E) dE \qquad (2-49)$$

onde

$$R_{\tilde{m}\mid\epsilon=E}(t_1,t_2) = \sum_{k=-\infty}^{\infty} \sum_{\ell=-\infty}^{\infty} \mathbb{E}\left[\tilde{m}_k(t_1)\tilde{m}_{\ell}^*(t_2)p(t_1+\epsilon-kT)p(t_2+\epsilon-\ell T)\mid\epsilon=E\right]$$

$$= \sum_{k=-\infty}^{\infty} \sum_{\ell=-\infty}^{\infty} \mathbb{E} \left[ \tilde{m}_k(t_1) \tilde{m}_{\ell}^*(t_2) \mid \epsilon = E \right] p(t_1 + E - kT) p(t_2 + E - \ell T) \quad (2-50)$$

Note que, levando-se em conta (2-24),

$$\mathbb{E}\left[\tilde{m}_{k}(t_{1})\tilde{m}_{\ell}^{*}(t_{2}) \mid \epsilon = E\right] = 2\sum_{i=-\infty}^{\infty} \sum_{n=-\infty}^{\infty} \mathbb{E}\left[d_{ik}d_{n\ell}^{*}\right] e^{j\frac{2\pi}{T}(it_{1}-nt_{2})} e^{j\frac{2\pi}{T}(i-n)E}$$
(2-51)

Considerando-se que  $d_{ik}$  e  $d_{n\ell}$  tem médias nulas e são estatísticamente independentes para  $k \neq \ell$ , tem-se

$$\mathbb{E}\left[\tilde{m}_{k}(t_{1})\tilde{m}_{\ell}(t_{2})|\epsilon=E\right] = \begin{cases} 0, & k \neq \ell; \\ R_{\tilde{m}_{k}|\epsilon=E}(t_{1}, t_{2}), & k = \ell. \end{cases}$$

$$(2-52)$$

onde

$$R_{\tilde{m}_k|\epsilon=E}(t_1, t_2) = 2 \sum_{i=-\infty}^{\infty} \sum_{n=-\infty}^{\infty} \mathbb{E}\left[d_{ik} d_{nk}^*\right] e^{j\frac{2\pi}{T}(it_1 - nt_2)} e^{j\frac{2\pi}{T}(i-n)E}$$
 (2-53)

Neste caso (2-50) se reduz a

$$R_{\tilde{m}|\epsilon=E}(t_1, t_2) = \sum_{k=-\infty}^{\infty} R_{\tilde{m}_k|\epsilon=E}(t_1, t_2) p(t_1 + E - kT) p(t_2 + E - kT)$$
 (2-54)

Observe que se os símbolos  $d_{ik}$  e  $d_{nk}$  têm média nulas e são estatísticamente independentes para  $i \neq n$ , a autocorrelação  $R_{\tilde{m}_k|\epsilon=E}(t_1,t_2)$  em (2-53) não depende de E, sendo dada por,

$$R_{\tilde{m}_{k}|\epsilon=E}(t_{1}, t_{2}) = 2 \sum_{i=-\infty}^{\infty} \mathbb{E}\left[|d_{ik}|^{2}\right] e^{j\frac{2\pi i}{T}(t_{1}-t_{2})}$$

$$= 2 E_{s} \sum_{i=-\infty}^{\infty} e^{j\frac{2\pi i}{T}(t_{1}-t_{2})}$$
(2-55)

ou seja,

$$R_{\tilde{m}_k|\epsilon=E}(t_1, t_2) = R_{\tilde{m}_k}(t_1, t_2)$$
 (2-56)

e consequentemente, (2-54) pode ser escrita como

$$R_{\tilde{m}|\epsilon=E}(t_1, t_2) = \sum_{k=-\infty}^{\infty} R_{\tilde{m}_k}(t_1 - t_2)p(t_1 + E - kT)p(t_2 + E - kT) \quad (2-57)$$

substituindo (2-57) em (2-49) obtém-se finalmente

$$R_{\tilde{m}}(t_1, t_2) = \frac{1}{T} \sum_{k=-\infty}^{\infty} \int_{-T/2}^{T/2} R_{\tilde{m}_k}(t_1 - t_2) p(t_1 + E - kT) p(t_2 + E - kT) dE \quad (2-58)$$

Efetuando-se a mudança de variável de integração  $\alpha=t_1+E-kT$  em (2-58), tem-se

$$R_{\tilde{m}}(t_1, t_2) = \sum_{k=-\infty}^{\infty} R_{\tilde{m}_k}(t_1 - t_2) \frac{1}{T} \int_{t_1 - kT - T/2}^{t_1 - kT + T/2} p(\alpha) p(t_2 + \alpha - t_1) d\alpha \qquad (2-59)$$

ou ainda,

$$R_{\tilde{m}}(\tau) = \sum_{k=-\infty}^{\infty} R_{\tilde{m}_k}(\tau) \frac{1}{T} \int_{t_1 - kT - T/2}^{t_1 - kT + T/2} p(\alpha) p(\alpha - \tau) d\alpha \qquad (2-60)$$

Como  $R_{\tilde{m}_k}(\tau)$  não depende de k ver (2-55 e 2-56)

$$R_{\tilde{m}}(\tau) = \frac{1}{T} R_{\tilde{m}_k}(\tau) \int_{-\infty}^{\infty} p(\alpha) p(\alpha - \tau) d\alpha$$
 (2-61)

ou ainda,

$$R_{\tilde{m}}(\tau) = \frac{1}{T} R_{\tilde{m}_k}(\tau) \left[ p(t) * p(-t) \right] (\tau)$$
 (2-62)

com  $R_{\tilde{m}_k}(\tau)$  dado por (2-43). A partir de (2-62) podemos concluir que  $\tilde{m}(t)$  é um processo estacionário no sentido amplo (ESA). A potência média do processo estacionário  $\tilde{m}(t)$  é dada por

$$P_{\tilde{m}} = R_{\tilde{m}}(0) \tag{2-63}$$

que, considerando (2-61) e (2-44), se escreve

$$P_{\tilde{m}} = \frac{R_{\tilde{m}_k}(0)}{T}$$

$$= \frac{2E_sN}{T}$$
(2-64)

### Função Autocorrelação normalizada da envoltória complexa de $\widetilde{m}(t)$

A Função Autocorrelação normalizada de  $\tilde{m}(t)$  é definida por

$$\bar{R}_{\tilde{m}}(\tau) = \frac{R_{\tilde{m}}(\tau)}{R_{\tilde{m}}(0)}$$

$$= \frac{T R_{\tilde{m}}(\tau)}{2E_s N} \tag{2-65}$$

considerando-se (2-43) e (2-62), (2-65) se escreve

$$\bar{R}_{\tilde{m}}(\tau) = \bar{R}_{\tilde{m}_k}(\tau) \left[ p(t) * p(-t) \right] (\tau) \tag{2-66}$$

com  $\bar{R}_{\tilde{m}_k}(\tau)$  dado por (2-45). Note que definindo-se

$$\bar{m}(\tau) = \frac{1}{\sqrt{P_{\tilde{m}}}} \,\tilde{m}(\tau) \tag{2-67}$$

verifica-se facilmente que

$$R_{\bar{m}}(\tau) = \frac{R_{\tilde{m}}(\tau)}{P_{\tilde{m}}} = \bar{R}_{\tilde{m}}(\tau) \tag{2-68}$$

A Figura 2.5 ilustra a função autocorrelação normalizada  $\bar{R}_{\tilde{m}_k}(\tau)$  (partes real e imaginaria) e a função  $p(\tau)*p(-\tau)$  para um sinal OFDM com pulso  $p(\tau)$  retangular e 16 portadoras.

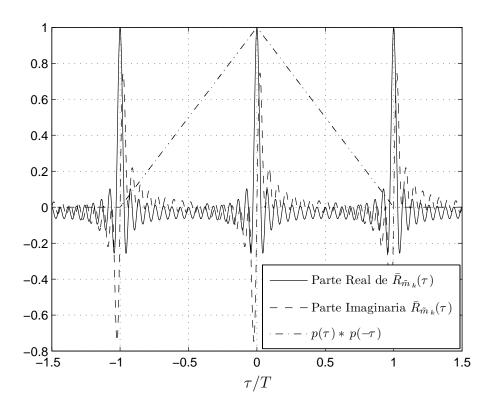


Figura 2.5: Função Autocorrelação de  $\tilde{m}_k(t)$  e  $p(\tau)*p(-\tau)$ , para sinais OFDM com pulso retangular e 16 portadoras.

A função autocorrelação normalizada  $\bar{R}_{\tilde{m}}(\tau)$  do processo  $\tilde{m}(t)$ , também para pulso retangular e 16 portadoras, é apresentada na Figura 2.6.

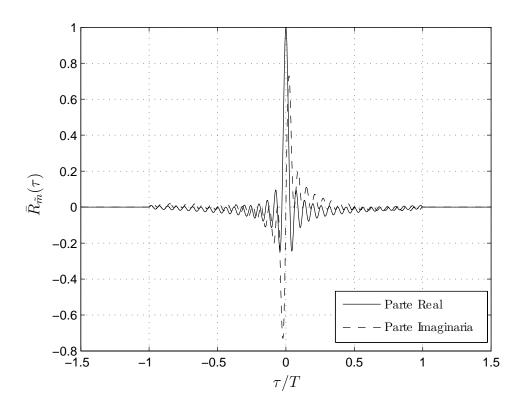


Figura 2.6: Função Autocorrelação de  $\tilde{m}(t)$  para N=16

# 2.2.3 Função Pseudo Autocorrelação

Um processo aleatório complexo z(t) com função pseudo autocorrelação igual a zero é chamado de próprio [9], definida por

$$\hat{R}_z(t_1, t_2) = \mathbb{E}\left[z(t_1)z(t_2)\right] \tag{2-69}$$

## Função Pseudo Autocorrelação da envoltória complexa de $\widetilde{m}_k(t)$

Pela definição de função pseudo autocorrelação [9] temos que:

$$\hat{R}_{\tilde{m}_k}(t_1, t_2) = \mathbb{E}\left[\tilde{m}_k(t_1)\tilde{m}_k(t_2)\right] \tag{2-70}$$

Substituindo (2-24) em (2-70) temos:

$$\hat{R}_{\tilde{m}_{k}}(t_{1}, t_{2}) = \mathbb{E}\left[\left(\sum_{i=1}^{N} \sqrt{2} d_{ik} e^{j\left[\frac{2\pi i}{T}(t_{1}+\epsilon)+\theta\right]}\right) \left(\sum_{\ell=1}^{N} \sqrt{2} d_{lk} e^{j\left[\frac{2\pi \ell}{T}(t_{2}+\epsilon)+\theta\right]}\right)\right]$$

$$= 2 \sum_{i=1}^{N} \sum_{\ell=1}^{N} \mathbb{E}\left[d_{ik} d_{\ell k} e^{j\left[\frac{2\pi i}{T}(t_{1}+\epsilon)+\theta\right]} e^{j\left[\frac{2\pi \ell}{T}(t_{2}+\epsilon)+\theta\right]}\right]$$

$$= 2 \sum_{i=1}^{N} \sum_{\ell=1}^{N} \mathbb{E}\left[d_{ik} d_{\ell k}\right] \mathbb{E}\left[e^{j\frac{2\pi}{T}(i+\ell)\epsilon}\right] \mathbb{E}\left[e^{j\frac{2\pi}{T}(it_{1}+\ell t_{2})}\right] \mathbb{E}\left[e^{j2\theta}\right]$$
(2-71)

Como  $\theta$  é uniformemente distribuído em  $(0, 2\pi]$ ,

$$\mathbb{E}\left[e^{j2\theta}\right] = 0\tag{2-72}$$

tem-se que a função pseudo autocorrelação de  $\tilde{m}_k(t)$  é nula, ou seja,

$$\hat{R}_{\tilde{m}_k}(t_1, t_2) = 0 (2-73)$$

#### Função Pseudo Autocorrelação da envoltória complexa de $\widetilde{m}(t)$

Pela definição temos,

$$\hat{R}_{\tilde{m}}(t_1, t_2) = \mathbb{E}\left[\tilde{m}(t_1)\tilde{m}(t_2)\right] \tag{2-74}$$

Considerando (2-23), tem-se

$$\hat{R}_{\tilde{m}}(t_1, t_2) = \sum_{k=-\infty}^{\infty} \sum_{l=-\infty}^{\infty} \mathbb{E}\left[\tilde{m}_k(t_1)\tilde{m}_l(t_2)p(t_1 + \epsilon - kT)p(t_2 + \epsilon - lT)\right] \quad (2-75)$$

Note que  $\hat{R}_{\tilde{m}}(t_1,t_2)$  pode ser obtido a partir da autocorrelação condicional  $\hat{R}_{\tilde{m}|\epsilon=E}(t_1,t_2)$  através da relação

$$\hat{R}_{\tilde{m}}(t_1, t_2) = \mathbb{E}_{\epsilon} \left[ \hat{R}_{\tilde{m}|\epsilon=E}(t_1, t_2) \right] 
= \int_{-\infty}^{\infty} \hat{R}_{\tilde{m}|\epsilon=E}(t_1, t_2) p_{\epsilon}(E) dE$$
(2-76)

onde

$$\hat{R}_{\tilde{m}|\epsilon=E}(t_1, t_2) = \sum_{k=-\infty}^{\infty} \sum_{\ell=-\infty}^{\infty} \mathbb{E}\left[\tilde{m}_k(t_1)\tilde{m}_\ell(t_2)p(t_1 + \epsilon - kT)p(t_2 + \epsilon - \ell T) \mid \epsilon = E\right]$$

$$= \sum_{k=-\infty}^{\infty} \sum_{\ell=-\infty}^{\infty} \mathbb{E} \left[ \tilde{m}_k(t_1) \tilde{m}_{\ell}(t_2) \, | \, \epsilon = E \right] p(t_1 + E - kT) p(t_2 + E - \ell T) \quad (2-77)$$

Note que, levando-se em conta (2-24),

$$\mathbb{E}\left[\tilde{m}_{k}(t_{1})\tilde{m}_{\ell}(t_{2}) \mid \epsilon = E\right] = 2\sum_{i=-\infty}^{\infty} \sum_{n=-\infty}^{\infty} \mathbb{E}\left[d_{ik}d_{n\ell}\right] e^{j\frac{2\pi}{T}(it_{1}+nt_{2})} e^{j\frac{2\pi}{T}(i+n)E} \mathbb{E}\left[e^{j\frac{2\theta}{T}}\right]$$
(2-78)

Como  $\theta$  é uniformemente distribuído em  $(0, 2\pi]$ ,

$$\mathbb{E}\left[e^{j2\theta}\right] = 0\tag{2-79}$$

ou seja,

$$\mathbb{E}\left[\tilde{m}_k(t_1)\tilde{m}_\ell(t_2)\right|\epsilon = E\right] = 0 \tag{2-80}$$

e consequentemente, (2-77) é nula, ou seja,

$$\hat{R}_{\tilde{m}|\epsilon=E}(t_1, t_2) = 0 \tag{2-81}$$

Substituindo (2-81) em (2-76) obtém-se finalmente

$$\hat{R}_{\tilde{m}}(t_1, t_2) = 0 \tag{2-82}$$

Considerando o Teorema do Limite Central podemos concluir que envoltória complexa de  $\tilde{m}(t)$  para N>30 é um processo estacionário no sentido amplo (ESA), gaussiano e próprio.

#### 2.2.4

#### Densidades Espectrais de Potência

A densidade espectral de potência de um processo estacionário no sentido amplo é dada pela Transformada de Fourier de sua função autocorrelação. Assim a partir de (2-41) e fazendo  $\tau=t_1-t_2$ , tem-se

$$S_{\tilde{m}_{k}}(f) = 2 E_{s} \mathcal{F} \left[ \sum_{i=1}^{N} e^{j\left[\frac{2\pi i}{T}(\tau)\right]} \right]$$

$$= 2 E_{s} \sum_{i=1}^{N} \mathcal{F} \left[ e^{j\left[\frac{2\pi i}{T}(\tau)\right]} \right]$$
(2-83)

como

$$\mathcal{F}\left[e^{j\left[\frac{2\pi i}{T}(\tau)\right]}\right] = \delta\left(f - \frac{i}{T}\right) \tag{2-84}$$

A Densidade Espectral de Potência do sinal  $\tilde{m}_k(t)$  é dada por (2-85)

$$S_{\tilde{m}_k}(f) = 2 E_s \sum_{i=1}^{N} \delta\left(f - \frac{i}{T}\right)$$
(2-85)

a partir de (2-85) notamos que a densidade espectral de potência do sinal  $\tilde{m}_k(t)$  é dada por um trem de impulsos de área  $E_s$  espaçados de 1/T conforme ilustrado na Figura 2.7

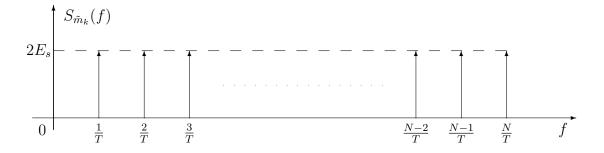


Figura 2.7: Densidade Espectral de Potência do sinal  $\tilde{m}_k(t)$ 

Considerando-se (2-45), a densidade espectral de potência normalizada de  $\tilde{m}_k(t)$  definida como a transformada de fourier de  $\bar{R}_{\tilde{m}_k}(\tau)$ , se escreve

$$\bar{S}_{\tilde{m}_k}(f) = \frac{1}{N} \sum_{i=1}^{N} \delta\left(f - \frac{i}{T}\right) \tag{2-86}$$

A partir de (2-62) a densidade espectral de potência do processo  $\tilde{m}(t)$  é dada por

$$S_{\tilde{m}}(f) = \mathcal{F}[R_{\tilde{m}}(\tau)] \tag{2-87}$$

ou ainda, utilizando-se algumas propriedades da Transformada de Fourier e substituindo (2-62) em (2-87), tem-se

$$S_{\tilde{m}}(f) = \mathcal{F}\left[\frac{1}{T}R_{\tilde{m}_k}(\tau)\left[p(t) * p(-t)\right](\tau)\right]$$
 (2-88)

$$= \frac{1}{T} \mathcal{F}\left[R_{\tilde{m}_k}(\tau)\right] * \left\{ \mathcal{F}\left[p(\tau)\right] \mathcal{F}\left[p(-\tau)\right] \right\}$$
 (2-89)

$$= \frac{1}{T} S_{\tilde{m}_k}(f) * P(f) P^*(f)$$
 (2-90)

onde  $P(f) = \mathcal{F}[p(\tau)]$ , ou ainda,

$$S_{\tilde{m}}(f) = \frac{1}{T} S_{\tilde{m}_k}(f) * |P(f)|^2$$
 (2-91)

considerando-se (2-85), esta Densidade Espectral de Potência se escreve

$$S_{\tilde{m}}(f) = \frac{2Es}{T} \sum_{i=1}^{N} \left| P\left(f - \frac{i}{T}\right) \right|^2$$
 (2-92)

Define-se a Densidade Espectral de Potência normalizada como sendo a Transformada de Fourier de  $\bar{R}_{\tilde{m}}(\tau)$ . De (2-65), tem-se

$$\bar{S}_{\tilde{m}}(f) = \frac{S_{\tilde{m}}(f)}{P_{\tilde{m}}} \tag{2-93}$$

onde  $S_{\tilde{m}}(f)$  é dado por (2-92) e  $P_{\tilde{m}}$  é dado por (2-64). Assim podemos reescrever a densidade espectral de potência normalizada como

$$\bar{S}_{\bar{m}}(f) = \frac{1}{N} \sum_{i=1}^{N} \left| P\left(f - \frac{i}{T}\right) \right|^2$$
 (2-94)

# 2.3 Caracterização da não linearidade

A utilização de amplificadores operando na região não linear é bastante comum em sistemas de comunicações com limitação de potência (e.g. comunicações via satélites). Na pratica, um sinal

$$x(t) = \rho(t)\cos(2\pi f_c t + \phi(t) + \lambda) \tag{2-95}$$

ao passar por um dispositivo não linear, gera, em sua saída um sinal z(t) de mesma freqüência, com amplitude e fase que dependem, de maneira não linear, da amplitude do sinal x(t), ou seja,

$$z(t) = g[\rho(t)] \cos(2\pi f_c t + \phi(t) + f[\rho(t)] + \lambda)$$
 (2-96)

onde g(.) e f(.) são funções que caracterizam as conversões AM/AM e AM/PM produzidas pela não linearidade.

A caracterização de uma não linearidade sem memória [10, 11, 12, 13], é feita através das funções g(.) e f(.) ou, de maneira mais compacta, através da função complexa

$$C\left[\rho(t)\right] = g\left[\rho(t)\right]e^{jf\left[\rho(t)\right]} \tag{2-97}$$

Neste trabalho, a função complexa C(.) será caracterizada pela expansão em série

$$C[\rho(t)] = \sum_{\ell=0}^{\infty} \gamma_{2\ell+1} [\rho(t)]^{2\ell+1}$$
 (2-98)

onde os coeficientes complexos  $\gamma_{2\ell+1}$  são determinados de modo a garantir que a série em (2-98) aproxima-se da função complexa em (2-97)

Considere a Figura 2.8, onde  $\tilde{x}(t)$  e  $\tilde{z}(t)$  representam respectivamente as envoltórias complexas das portadoras na entrada e na saída de uma não linearidade sem memória cujo relacionamento entrada-saída é dado por (2-98).

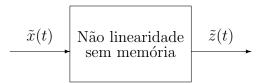


Figura 2.8: Diagrama de blocos do sinal passando por um dispositivo não-linear

É possível mostrar [12] que

$$\tilde{z}(t) = \sum_{\ell=0}^{\infty} \gamma_{2\ell+1} \tilde{x}^{\ell+1}(t) \tilde{x}^{*\ell}(t) 
= \sum_{\ell=0}^{\infty} \gamma_{2\ell+1} |\tilde{x}(t)|^{2\ell} \tilde{x}(t)$$
(2-99)

A modelagem matemática de uma não linearidade com memória é usualmente feita pela configuração em cascata de filtros com uma não linearidade sem memória, conforme ilustrado no diagrama em blocos da Figura 2.9.



Figura 2.9: Diagrama de blocos de um dispositivo não-linear com memória

Nesta figura  $\tilde{x}(t)$  e  $\tilde{z}(t)$  representam respectivamente as envoltórias complexas dos sinais na entrada e na saída da não linearidade, e  $u_{eq}$  e  $v_{eq}$  representam as respostas ao impulso dos equivalentes passa baixa dos filtros. Repare que se  $\tilde{y}(t)$  é estacionário no sentido amplo a média, função autocorrelação e a densidade espectral de potência são facilmente obtidas.

Na prática, as curvas da função complexa C(.), que caracterizam a não linearidade sem memória são fornecidas pelos fabricantes dos equipamentos (por exemplo amplificadores não lineares). Estas curvas são normalmente expressas em função das razões entre as potências dos sinais e as potências de saturação (de entrada e de saída) do dispositivo não linear. Estas razões são usualmente denominadas back-offs de entrada e de saída da não linearidade. Assim, o bloco central da Figura 2.9 pode ser representado pelo diagrama da Figura 2.10, no qual a não linearidade h() é expressa em função dos back-offs de entrada e de saída. Neste diagrama  $P_{si}$  e  $P_{so}$  representam as potências de

saturação de entrada e saída do dispositivo não linear.

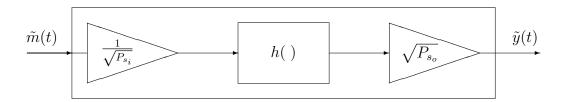


Figura 2.10: Diagrama de blocos de um dispositivo não-linear sem memória

Finalmente, considerando-se que o relacionamento entrada-saída no bloco h() da Figura 2.10 é análogo ao relacionamento expresso em (2-99), é possível escrever (2-100)

$$\frac{\tilde{y}(t)}{\sqrt{P_{s_o}}} = \sum_{\ell=0}^{\infty} \gamma_{2\ell+1} \frac{\tilde{m}^{\ell+1}(t)}{\left(\sqrt{P_{s_i}}\right)^{\ell+1}} \frac{\tilde{m}^{*^{\ell}}(t)}{\left(\sqrt{P_{s_i}}\right)^{\ell}}$$
(2-100)

A expressão (2-100) permite determinar estatísticas do processo de saída  $\tilde{y}(t)$  da não linearidade sem memória em função das estatísticas do processo estocástico de entrada  $\tilde{m}(t)$ .

## 2.4 Caracterização do sinal na saída da Não Linearidade

A média do processo estocástico  $\tilde{y}(t)$  pode ser determinada a partir de (2-100). Tem-se assim

$$\mathbb{E}\left[\tilde{y}(t)\right] = \mathbb{E}\left[\sqrt{P_{s_o}} \sum_{i=0}^{\infty} \gamma_{2i+1} \frac{\tilde{m}^{i+1}(t)}{\left(\sqrt{P_{s_i}}\right)^{i+1}} \frac{\tilde{m}^{*^i}(t)}{\left(\sqrt{P_{s_i}}\right)^i}\right]$$

$$= \sqrt{P_{s_o}} \sum_{i=0}^{\infty} \gamma_{2i+1} \frac{\mathbb{E}\left[\tilde{m}^{i+1}(t)\tilde{m}^{*^i}(t)\right]}{\left(\sqrt{P_{s_i}}\right)^{i+1}\left(\sqrt{P_{s_i}}\right)^i}$$
(2-101)

ou ainda,

$$\frac{\mathbb{E}\left[\tilde{y}(t)\right]}{\sqrt{P_{s_o}}} = \sum_{i=0}^{\infty} \frac{\gamma_{2i+1}}{\left(\sqrt{P_{s_i}}\right)^{2i+1}} \, \xi_i(t)$$

onde

$$\xi_i(t) = \mathbb{E}\left[\tilde{m}^{i+1}(t)\tilde{m}^{*i}(t)\right]$$
 (2-102)

Mostra-se na Seção A.1 do Anexo que  $\xi_i(t)$  é igual a zero, consequentemente

$$\mathbb{E}\left[\tilde{y}(t)\right] = 0\tag{2-103}$$

A Função Autocorrelação de  $\tilde{y}(t)$ , é definida por

$$R_{\tilde{y}}(t_1, t_2) = \mathbb{E}\left[\tilde{y}(t_1)\tilde{y}^*(t_2)\right]$$
 (2-104)

pode ser escrita como, considerando-se (2-100), como

$$\frac{R_{\tilde{y}}(t_1, t_2)}{P_{s_o}} = \mathbb{E}\left[\sum_{i=0}^{\infty} \sum_{j=0}^{\infty} \gamma_{2i+1} \gamma_{2j+1}^* \frac{\tilde{m}^{i+1}(t_1)}{\left(\sqrt{P_{s_i}}\right)^{i+1}} \frac{\tilde{m}^{*^i}(t_1)}{\left(\sqrt{P_{s_i}}\right)^i} \frac{\tilde{m}^{*^{j+1}}(t_2)}{\left(\sqrt{P_{s_i}}\right)^{j+1}} \frac{\tilde{m}^{j}(t_2)}{\left(\sqrt{P_{s_i}}\right)^j}\right]$$
(2-105)

ou ainda,

$$\frac{R_{\tilde{y}}(t_1, t_2)}{P_{s_o}} = \sum_{i=0}^{\infty} \sum_{j=0}^{\infty} \frac{\gamma_{2i+1} \gamma_{2j+1}^*}{P_{s_i}^{i+j+1}} \alpha_{ij}(t_1, t_2)$$
 (2-106)

onde

$$\alpha_{ij}(t_1, t_2) = \mathbb{E}\left[\tilde{m}^{i+1}(t_1)\tilde{m}^{*i}(t_1)\tilde{m}^{*j+1}(t_2)\tilde{m}^{j}(t_2)\right]$$
 (2-107)

Se  $\tilde{m}(t)$  é um processo estocástico gaussiano complexo, próprio [9] e de média nula, é possível re-escrever (2-107) como

$$\alpha_{ij}(t_1, t_2) = R_{\tilde{m}}(t_1, t_2) \sum_{\ell=0}^{\min(i, j)} \beta_{ij\ell} \left[ R_{\tilde{m}}(t_1, t_1) \right]^{i-\ell} \left| R_{\tilde{m}}(t_1, t_2) \right|^{2\ell} \left[ R_{\tilde{m}}(t_2, t_2) \right]^{j-\ell}$$
(2-108)

onde

$$\beta_{ij\ell} = (i+1)! C_i^{i-\ell} C_{j+1}^{\ell+1} (j)!$$
 (2-109)

As equações (2-108) e (2-109) são demonstradas na Seção A.2 do apêndice. No caso de  $\tilde{m}(t)$  ser um processo estocástico estacionário no sentido amplo, a quantidade  $\alpha_{ij}(t_1, t_2)$  pode ser escrita como

$$\alpha_{ij}(\tau) = P_{\tilde{m}}^{i+j+1} \,\bar{\alpha}_{ij}(\tau) \tag{2-110}$$

onde

$$\bar{\alpha}_{ij}(t_1, t_2) = \mathbb{E}\left[\bar{m}^{i+1}(t_1)\bar{m}^{*^i}(t_1)\bar{m}^{*^{j+1}}(t_2)\bar{m}^{j}(t_2)\right]$$
(2-111)

com  $\tau = t_1 - t_2$  e  $P_{\tilde{m}}$  representando a potência média do processo estocástico  $\tilde{m}(t)$ . Em (2-111),  $\bar{m}(t)$  é resultado da normalização do processo estocástico  $\tilde{m}(t)$  conforme (2-67), ou seja

$$\bar{m}(t) = \frac{1}{\sqrt{P_{\tilde{m}}}} \tilde{m}(t) \tag{2-112}$$

o que implica

$$R_{\bar{m}}(\tau) = \frac{1}{P_{\bar{m}}} R_{\tilde{m}}(\tau) = \bar{R}_{\tilde{m}}(\tau)$$
 (2-113)

Note que, levando-se em conta (2-107) e (2-108), (2-111) se escreve

$$\bar{\alpha}_{ij}(\tau) = \bar{R}_{\tilde{m}}(\tau) \sum_{\ell=0}^{\min(i,j)} \beta_{ij\ell} \left| (\bar{R}_{\tilde{m}}(\tau)) \right|^{2\ell}$$
(2-114)

Finalmente, considerando-se (2-106) e (2-110), a Função Autocorrelação do processo estocástico  $\tilde{y}(t)$  pode ser escrita, no caso particular de  $\tilde{m}(t)$  ser estacionário no sentido amplo, como

$$\frac{R_{\tilde{y}}(\tau)}{P_{s_o}} = \frac{P_{\tilde{m}}}{P_{s_i}} \sum_{i=0}^{\infty} \sum_{j=0}^{\infty} \frac{P_{\tilde{m}}^{i+j}}{P_{s_i}^{i+j}} \gamma_{2i+1} \gamma_{2j+1}^* \bar{\alpha}_{ij}(\tau)$$
(2-115)

com  $\bar{\alpha}_{ij}(\tau)$  dado por (2-114). A Equação (2-115) pode ainda ser escrita como

$$\frac{R_{\tilde{y}}(\tau)}{P_{so}} = 2 b_{in} \sum_{i=0}^{\infty} \sum_{j=0}^{\infty} \bar{\gamma}_{2i+1} \, \bar{\gamma}_{2j+1}^* \, \bar{\alpha}_{ij}(\tau)$$
 (2-116)

onde

$$b_{in} = \frac{P_m}{P_{si}} = \frac{P_{\tilde{m}}}{2 P_{si}} \tag{2-117}$$

e

$$\bar{\gamma}_{2j+1} = (2\,b_{in})^j \,\gamma_{2j+1} \tag{2-118}$$

Note que (2-103) e (2-116) indicam que  $\tilde{y}(\tau)$  é um processo estocástico estacionário no sentido amplo.

Substituindo-se (2-114) em (2-116), obtém-se

$$\frac{R_{\tilde{y}}(\tau)}{P_{so}} = 2 b_{in} \sum_{i=0}^{\infty} \sum_{j=0}^{\infty} \bar{\gamma}_{2i+1} \bar{\gamma}_{2j+1}^* \bar{R}_{\tilde{m}}(\tau) \sum_{\ell=0}^{\min(ij)} \beta_{ij\ell} |\bar{R}_{\tilde{m}}(\tau)|^{2\ell}$$
(2-119)

ou ainda,

$$\frac{R_{\tilde{y}}(\tau)}{P_{so}} = 2 b_{in} \sum_{i=0}^{\infty} \sum_{j=0}^{\infty} \bar{\gamma}_{2i+1} \bar{\gamma}_{2j+1}^* \bar{R}_{\tilde{m}}(\tau) \sum_{\ell=0}^{\infty} \bar{\beta}_{ij\ell} |\bar{R}_{\tilde{m}}(\tau)|^{2\ell} 
= 2 b_{in} \bar{R}_{\tilde{m}}(\tau) \sum_{\ell=0}^{\infty} |\bar{R}_{\tilde{m}}(\tau)|^{2\ell} \sum_{i=0}^{\infty} \sum_{j=0}^{\infty} \bar{\gamma}_{2i+1} \bar{\gamma}_{2j+1}^* \bar{\beta}_{ij\ell} \quad (2-120)$$

onde

$$\bar{\beta}_{ij\ell} = \begin{cases} \beta_{ij\ell} & ; & \min(i,j) \ge \ell \\ 0 & ; & \min(i,j) < \ell \end{cases}$$
 (2-121)

Em notação vetorial, (2-120) pode ser ainda escrita como

$$\frac{R_{\tilde{y}}(\tau)}{P_{so}} = 2 b_{in} \, \bar{R}_{\tilde{m}}(\tau) \, \sum_{\ell=0}^{\infty} \left| \bar{R}_{\tilde{m}}(\tau) \right|^{2\ell} \, \mathbf{g}^T \mathbf{A}_{\ell} \, \mathbf{g}^*$$
 (2-122)

onde

$$\mathbf{g} = \begin{pmatrix} \bar{\gamma}_1 \\ \bar{\gamma}_3 \\ \bar{\gamma}_5 \\ \vdots \end{pmatrix} = \begin{pmatrix} (2b_{in})^0 \gamma_1 \\ (2b_{in})^1 \gamma_3 \\ (2b_{in})^2 \gamma_5 \\ \vdots \end{pmatrix}$$
(2-123)

e

$$\mathbf{A}_{\ell} = \begin{pmatrix} \bar{\beta}_{00\ell} & \bar{\beta}_{01\ell} & \bar{\beta}_{02\ell} & \cdots \\ \bar{\beta}_{10\ell} & \bar{\beta}_{11\ell} & \bar{\beta}_{12\ell} & \cdots \\ \bar{\beta}_{20\ell} & \bar{\beta}_{21\ell} & \bar{\beta}_{22\ell} & \cdots \\ \vdots & \vdots & \vdots & \ddots \end{pmatrix}$$
(2-124)

Considerando-se que nos casos práticos o número de termos da série em (2-98) é finito, é possível escrever

$$\frac{R_{\tilde{y}}(\tau)}{P_{so}} = 2 b_{in} \ \bar{R}_{\tilde{m}}(\tau) \sum_{\ell=0}^{N} \left| \bar{R}_{\tilde{m}}(\tau) \right|^{2\ell} \mathbf{g}^{T} \mathbf{A}_{\ell} \mathbf{g}^{*}$$

$$(2-125)$$

onde

$$\mathbf{g} = \begin{pmatrix} \bar{\gamma}_1 \\ \bar{\gamma}_3 \\ \vdots \\ \bar{\gamma}_{2N+1} \end{pmatrix} = \begin{pmatrix} (2 \, b_{in})^0 \gamma_1 \\ (2 \, b_{in})^1 \gamma_3 \\ \vdots \\ (2 \, b_{in})^N \gamma_{2N+1} \end{pmatrix}$$
(2-126)

е

$$\mathbf{A}_{\ell} = \begin{pmatrix} \bar{\beta}_{00\ell} & \bar{\beta}_{01\ell} & \cdots & \bar{\beta}_{0N\ell} \\ \bar{\beta}_{10\ell} & \bar{\beta}_{11\ell} & \cdots & \bar{\beta}_{1N\ell} \\ \vdots & \vdots & \ddots & \vdots \\ \bar{\beta}_{N0\ell} & \bar{\beta}_{N1\ell} & \cdots & \bar{\beta}_{NN\ell} \end{pmatrix} ; \quad \ell = 0, \dots, N$$
 (2-127)

A título de exemplo, no caso de N=3, as matrizes  $A_{\ell}$  são dadas por

$$\mathbf{A}_{0} = \begin{pmatrix} \bar{\beta}_{000} & \bar{\beta}_{010} & \bar{\beta}_{020} & \bar{\beta}_{030} \\ \bar{\beta}_{100} & \bar{\beta}_{110} & \bar{\beta}_{120} & \bar{\beta}_{130} \\ \bar{\beta}_{200} & \bar{\beta}_{210} & \bar{\beta}_{220} & \bar{\beta}_{230} \\ \bar{\beta}_{300} & \bar{\beta}_{310} & \bar{\beta}_{320} & \bar{\beta}_{330} \end{pmatrix} = \begin{pmatrix} 1 & 2 & 4 & 24 \\ 2 & 4 & 12 & 48 \\ 6 & 12 & 36 & 144 \\ 24 & 48 & 144 & 576 \end{pmatrix}$$
(2-128)

$$\mathbf{A}_{1} = \begin{pmatrix} 0 & 0 & 0 & 0 \\ 0 & \bar{\beta}_{111} & \bar{\beta}_{121} & \bar{\beta}_{131} \\ 0 & \bar{\beta}_{211} & \bar{\beta}_{221} & \bar{\beta}_{231} \\ 0 & \bar{\beta}_{311} & \bar{\beta}_{321} & \bar{\beta}_{331} \end{pmatrix} = \begin{pmatrix} 0 & 0 & 0 & 0 \\ 0 & 2 & 12 & 72 \\ 0 & 12 & 72 & 432 \\ 0 & 72 & 432 & 2592 \end{pmatrix}$$
(2-129)

Mostra-se na Seção A.3 do apêndice que os coeficientes  $\beta_{ij\ell}$  definidos em (2-109) podem, alternativamente, ser escritos como

$$\bar{\beta}_{ij\ell} = \sigma_{i\ell} \ \sigma_{j\ell} \tag{2-132}$$

onde

$$\sigma_{i\ell} = \frac{1}{\sqrt{\ell+1}} \frac{(i+1)! \ i!}{(i-\ell)! \ \ell!}$$
 (2-133)

Assim, a matriz  $\mathbf{A}_{\ell}$  em (2-124), pode ainda ser escrita como

$$\mathbf{A}_{\ell} = \mathbf{a}_{\ell} \, \mathbf{a}_{\ell}^{\mathbf{T}} \tag{2-134}$$

onde

$$\mathbf{a}_{\ell} = \begin{pmatrix} \bar{\sigma}_{0\ell} \\ \bar{\sigma}_{1\ell} \\ \bar{\sigma}_{2\ell} \\ \vdots \end{pmatrix} \tag{2-135}$$

com

$$\bar{\sigma}_{i\ell} = \begin{cases} \sigma_{i\ell} & ; i \ge 0 \\ 0 & ; i < 0 \end{cases}$$
 (2-136)

sendo  $\sigma_{i\ell}$  dado por (2-133).

Consequentemente, (2-122) pode também ser escrita como

$$\frac{R_{\tilde{y}}(\tau)}{P_{so}} = 2 b_{in} \,\bar{R}_{\tilde{m}}(\tau) \,\sum_{\ell=0}^{\infty} \left| \bar{R}_{\tilde{m}}(\tau) \right|^{2\ell} \,\left| \mathbf{a}_{\ell}^{\mathbf{T}} \mathbf{g} \right|^{2} \tag{2-137}$$

A Densidade Espectral de Potência do processo estocástico  $\tilde{y}(t)$  é dada pela transformada de Fourier da Função Autocorrelação de  $\tilde{y}(t)$ , ou seja,

$$S_{\tilde{v}}(f) = \mathcal{F}\left[R_{\tilde{v}}(\tau)\right] \tag{2-138}$$

a partir (2-122) podemos escrever

$$S_{\tilde{y}}(f) = P_{so} \sum_{\ell=0}^{\infty} 2 b_{in} \mathbf{g}^{T} \mathbf{A}_{\ell} \mathbf{g}^{*} \mathcal{F} \left[ \bar{R}_{\tilde{m}}(\tau) \left| \bar{R}_{\tilde{m}}(\tau) \right|^{2\ell} \right]$$
(2-139)

ou ainda

$$S_{\tilde{y}}(f) = P_{so} \sum_{\ell=0}^{\infty} B_{\ell} \bar{S}_{\ell}(f)$$
 (2-140)

onde

$$B_{\ell} = 2 b_{in} \mathbf{g}^T \mathbf{A}_{\ell} \mathbf{g}^* \tag{2-141}$$

e

$$\bar{S}_{\ell}(f) = \mathcal{F}\left[\bar{R}_{\tilde{m}}(\tau) \left| \bar{R}_{\tilde{m}}(\tau) \right|^{2\ell}\right]$$
 (2-142)

Note que as funções  $\bar{S}_{\ell}(f)$  em (2-142) são determinadas através da convolução das Densidades Espectrais de Potências normalizadas de  $\tilde{m}(t)$ , ou seja,

$$S_{\ell}(f) = \underbrace{\bar{S}_{\tilde{m}}(f) * \dots * \bar{S}_{\tilde{m}}(f)}_{\ell+1} * \underbrace{\bar{S}_{\tilde{m}}(-f) * \dots * \bar{S}_{\tilde{m}}(-f)}_{\ell}$$
(2-143)

onde  $\bar{S}_{\tilde{m}(f)}$  é dada por (2-94).

É interessante observar que no somatório em (2-140), a parcela correspondente a  $\ell=0$  representa a Densidade Espectral de Potência do sinal desejado na saída da não linearidade (Produto de Intermodulação de  $1^{\underline{a}}$  ordem). De maneira análoga, as parcelas correspondentes a  $\ell=1$  e  $\ell=2$  representam as Densidades Espectrais de Potências produzidas pelos Produtos de Intermodulações de  $3^{\underline{a}}$  e  $5^{\underline{a}}$  ordens, respectivamente. De maneira igual, a  $\ell$ -ésima parcela representa a Densidade Espectral de Potência produzido pelo Produto de Intermodulação de ordem  $2\ell+1$ .

Assim, (2-140) pode ser reescrita como

$$S_{\tilde{y}}(f) = S_D(f) + S_I(f) \tag{2-144}$$

onde  $S_D(f)$  e  $S_I(f)$  representam, respectivamente, a Densidade Espectral de Potência da envoltória complexa do sinal desejado e da envoltória complexa da interferência devido à intermodulação, dados por

$$S_D(f) = P_{so} B_0 \bar{S}_0(f)$$
  
=  $P_{so} B_0 \bar{S}_{\tilde{m}}(f)$  (2-145)

e

$$S_I(f) = P_{so} \sum_{\ell=1}^{\infty} B_{\ell} \bar{S}_{\ell}(f)$$
 (2-146)

Normalizando-se  $S_{\tilde{y}}(f)$  em (2-144) para que a Potência média da envoltória complexa do sinal desejado na saída da não linearidade seja unitária, obtém-se

$$\bar{S}_{\tilde{y}}(f) = \bar{S}_{\tilde{m}}(f) + \bar{S}_{I}(f)$$
 (2-147)

onde

$$\bar{S}_{\tilde{y}}(f) = \frac{S_{\tilde{y}}(f)}{P_{so}B_0} \tag{2-148}$$

e

$$\bar{S}_{I}(f) = \frac{S_{I}(f)}{P_{so}B_{0}}$$

$$= \sum_{\ell=1}^{\infty} \frac{B_{\ell}}{B_{0}} \bar{S}_{\ell}(f) \qquad (2-149)$$

É interessante observar que em (2-149) cada uma das parcelas de  $\bar{S}_I(f)$  corresponde praticamente à densidade espectral de potência associados aos produtos de intermodulação de uma determinada ordem. Assim, as parcelas correspondentes a  $\ell=1,\ \ell=2$  e  $\ell=3$  representam, por exemplo, densidades espectrais de potências do produtos de intermodulação de  $3^{\underline{a}}$ ,  $5^{\underline{a}}$  e  $7^{\underline{a}}$  ordem, respectivamente.